



Assessing agronomic traits, grain quality and yield stability of promising rice lines using Lin and Binns and GGE-biplot methods

Hosein Rahim Soroush^{1*}, Maryam Hoseini Chaleshtori², Ali Akbar Ebadi², Ali Reza Haghghi Hasanalideh³ and Ali Mohadesi⁴

1. Research Assistant Professor, Rice Research Institute of Iran, Agricultural Research, Education and Extension Organization (AREEO), Rasht, Iran (*Corresponding author: rahimsoroush@yahoo.com)
2. Research Associate Professor, Rice Research Institute of Iran, Agricultural Research, Education and Extension Organization (AREEO), Rasht, Iran
3. Research Assistant Professor, Rice Research Institute of Iran, Agricultural Research, Education and Extension Organization (AREEO), Rasht, Iran
4. Researcher, Rice Research Institute of Iran, Agricultural Research, Education and Extension Organization (AREEO), Rasht, Iran

Comprehensive abstract

Introduction

Considering the lack of food in the world, increasing the production of rice is one of the demands of the global market and one of the important goals of many countries producing this crop plant. The final performance of each organism is affected by the genotypic potential, the environmental effects and the interaction between genotype and environment. The interaction of genotype and environment causes that different genotypes do not have the same reaction under different environmental conditions. Genotypes that can produce higher yields in different regions or under different environmental conditions and maintain their performance stability are considered as successful genotypes. In this study, nine promising rice lines originating from the Hashemi variety, along with two varieties Hashemi and Gilaneh, were evaluated for grain yield in two regions during two years. The objective of this study was to evaluate the stability of the studied lines and introduce the most stable ones in order to introduce the new varieties.

Materials and methods

The plant materials of this experiment were nine promising rice lines originating from the Hashemi variety, as a Iranian local variety with good quality, along with two varieties Hashemi and Gilaneh as control varieties. The experiment was conducted in a randomized complete block design with four replications in two regions, Rice Research Institute of Iran (Guilan province, Iran) and Chaparsar Research Station (Mazandaran province, Iran), in two years, 2017 and 2018. The studied traits included grain yield, days to 50% flowering, head rice percentage, milling efficiency, grain length, amylose content and gelatinization temperature. For data statistical analysis, simple analysis of variance was firstly performed for grain yield, and then Bartlett's test was done to check the uniformity of the experimental errors. Combined analysis of variance and comparison of means by Duncan's method was performed with SAS software. To evaluate the stability of the studied lines, Lin and Binns and GGE-biplot methods were used.

Research findings

The results of combined analysis of variance showed that the effects of genotype and year as well as the interaction of year×place and year×place×genotype on grain yield were significant. Therefore, grain yield stability of the studied genotypes was evaluated using Lin and Binns and GGE-biplot



methods. The results of Lin and Binns method indicated that two genotypes Gilaneh and 19603 (Hashemi/IR74720-85-1-2-1), with the lowest intra-location variance, were the most stable genotypes in this experiment. The results of GGE-biplot graphical method also showed that the genotypes 19607, Hashemi and Gilaneh, which formed the vertices of the polygon in the grain yield biplot, were the best or the weakest genotypes in some environments or in all environments. Also, the simultaneous evaluation of stability and grain yield of the studied genotypes identified the promising line 19603 as the best genotype. The graph of ideal genotype also showed that the promising line 19603 had the smallest distance from the hypothetical ideal genotype compared to other genotypes, so it was the best genotype of this experiment.

Conclusion

The results of stability analysis of rice genotypes using Lin and Binns and GGE-biplot methods introduced genotype 19603 as the most stable genotype of this experiment. This promising line along with the promising line 19607 produced the highest average paddy yield in all studied environments. These genotypes with the number of days to 50% flowering less than 95 days, grain length more than seven mm, and medium amylose content and gelatinization temperature, were considered as genotypes with mid-maturing, long-grain (Sadri) and good cooking quality. Therefore, two promising lines 19603 and 19607 are suggested for cultivar introduction programs.

Keywords: Cooking quality, Graphic analysis, Ideal genotype, Maturity period

Received: July 24, 2023

Accepted: September 18, 2023

Cite this article:

Rahim Soroush, H., Hoseini Chaleshtori, M., Ebadi, A. A., Haghghi Hasanalideh, A. R., & Mohadesi, A. (2023). Evaluation of agronomic traits, grain quality and yield stability for promising rice lines using Lin and Binns and GGE-biplot methods. *Cereal Research*, 13(3), 215-229. doi: [10.22124/CR.2023.25478.1792](https://doi.org/10.22124/CR.2023.25478.1792).



تحقیقات غلات

دوره سیزدهم، شماره سوم، پاییز ۱۴۰۲ (۲۱۵-۲۲۹)

doi: 10.22124/CR.2023.25478.1792



دسترسی آزاد

مقاله پژوهشی

ارزیابی صفات زراعی، کیفیت دانه و پایداری عملکرد ژنتیپ‌های امیدبخش برنج با استفاده از روش‌های لین و بینز و GGE-biplot

حسین رحیم‌سروش^{۱*}، مریم حسینی چالشتی^۲، علی‌اکبر عبادی^۳، علیرضا حقیقی حسنعلی‌یده^۳ و علی محدثی^۴

۱- استادیار پژوهش، مؤسسه تحقیقات برنج کشور، سازمان تحقیقات، آموزش و ترویج کشاورزی، رشت، ایران (*نویسنده مسئول:
rahimsouroush@yahoo.com)

۲- دانشیار پژوهش، مؤسسه تحقیقات برنج کشور، سازمان تحقیقات، آموزش و ترویج کشاورزی، رشت، ایران

۳- استادیار پژوهش، مؤسسه تحقیقات برنج کشور، سازمان تحقیقات، آموزش و ترویج کشاورزی، رشت، ایران

۴- محقق، مؤسسه تحقیقات برنج کشور، سازمان تحقیقات، آموزش و ترویج کشاورزی، رشت، ایران

چکیده جامع

مقدمه: با توجه به کمبود مواد غذایی در جهان، افزایش تولید برنج یکی از خواسته‌های بازار جهانی و از اهداف مهم بسیاری از کشورهای تولیدکننده این محصول می‌باشد. عملکرد نهایی هر محصول تحت تاثیر پتانسیل ژنتیپ، اثر محیط و برهمکنش ژنتیپ و محیط قرار می‌گیرد. برهمکنش ژنتیپ و محیط موجب می‌شود ژنتیپ‌های مختلف تحت شرایط محیطی متفاوت واکنش یکسانی نداشته باشند. ژنتیپ‌هایی که بتوانند در مناطق مختلف و یا تحت شرایط محیطی متفاوت، عملکرد بالاتری تولید کنند و پایداری عملکرد خود را حفظ کنند، ارقام موفقی بهشمار می‌آیند. در این پژوهش، نه لاین امیدبخش برنج با منشاء هاشمی به همراه دو رقم هاشمی و گیلانه در دو منطقه و طی دو سال از نظر عملکرد دانه مورد ارزیابی قرار گرفتند. هدف از مطالعه نیز ارزیابی پایداری لاین‌های مورد مطالعه و معرفی پایدارترین آن‌ها بهمنظور معرفی رقم‌های جدید بود.

مواد و روش‌ها: مواد گیاهی این آزمایش، تعداد نه لاین امیدبخش برنج با منشاء رقم هاشمی بهعنوان یک رقم برنج محلی ایرانی با کیفیت مطلوب بود که به همراه دو رقم هاشمی و گیلانه به عنوان رقم‌های شاهد آزمایش در قالب طرح بلوك‌های کامل تصادفی با چهار تکرار در دو منطقه، مؤسسه تحقیقات برنج کشور (گیلان، رشت) و ایستگاه تحقیقات چپسر (مازندران) به مدت دو سال ۱۳۹۶ و ۱۳۹۷ مورد ارزیابی قرار گرفتند. صفات مورد مطالعه شامل عملکرد دانه، روز تا ۵۰ درصد گلدهی، درصد برنج سالم، راندمان تبدیل، طول شلتوك، محتوای آمیلوز و درجه حرارت ژلاتینی شدن بود. برای تجزیه و تحلیل آماری داده‌ها، ابتدا تجزیه واریانس ساده برای عملکرد دانه انجام شد و سپس، آزمون بارتلت جهت بررسی یکنواختی خطاهای آزمایش صورت گرفت. تجزیه واریانس مرکب و مقایسه میانگین‌ها به روش دانکن با نرم‌افزار SAS انجام شد. بهمنظور ارزیابی پایداری لاین‌های مورد مطالعه نیز از روش‌های لین و بینز و GGE-biplot استفاده شد.

یافته‌های تحقیق: نتایج تجزیه واریانس مرکب داده‌ها نشان داد که اثر ژنتیپ و سال و همچنین برهمکنش سال × مکان و سال × مکان × ژنتیپ بر عملکرد دانه معنی‌دار بود. به این ترتیب، پایداری عملکرد دانه ژنتیپ‌های مورد مطالعه با استفاده از روش‌های لین و بینز و GGE-biplot ارزیابی شد. نتایج روش لین و بینز نشان داد که ژنتیپ‌های گیلانه و ۱۹۶۰۳ (Hasemi/IR74720-85-1-2-1) با داشتن کمترین واریانس درون‌مکانی برای عملکرد دانه، بهترین ترتیب پایدارترین ژنتیپ‌های

این آزمایش بودند. نتایج حاصل از روش گرافیکی GGE-biplot نیز نشان داد که در باپلات عملکرد دانه، ژنتیک‌های ۱۹۶۰۷، هاشمی و گیلانه که رئوس چند ضلعی را تشکیل دادند، بهترین و یا ضعیفترین ژنتیک‌ها در برخی از محیط‌ها و یا همه محیط‌ها بودند. در مقابل، بررسی همزمان پایداری و عملکرد دانه ژنتیک‌ها، لاین امیدبخش ۱۹۶۰۳ را به عنوان بهترین ژنتیک معرفی کرد. نمودار ژنتیک ایده‌آل نیز نشان داد که لاین امیدبخش ۱۹۶۰۳ کمترین فاصله را از ژنتیک ایده‌آل فرضی نسبت به سایر ژنتیک‌ها داشت و بنابراین برترین ژنتیک این آزمایش بود.

نتیجه‌گیری: نتایج ارزیابی پایداری عملکرد ژنتیک‌های برنج با استفاده از روش‌های لین و بینز و GGE-biplot، لاین امیدبخش ۱۹۶۰۳ را به عنوان پایدارترین ژنتیک این آزمایش معرفی کرد. این لاین به همراه لاین امیدبخش ۱۹۶۰۷، بالاترین میانگین عملکرد شلتوك را در تمامی محیط‌های ارزیابی شده تولید کردند. این ژنتیک‌ها، با تعداد روز تا ۵۰ درصد گلدهی کمتر از ۹۵ روز، طول دانه بیش از هفت میلی‌متر و میزان آمیلوز و دمای ژلاتینی شدن متوسط، در ردیف ژنتیک‌های میانرس، دانه‌بلند (صدری) و با کیفیت پخت مطلوب قرار گرفتند. بنابراین، دو لاین امیدبخش ۱۹۶۰۳ و ۱۹۶۰۷ به منظور اجرای برنامه‌های معرفی رقم، پیشنهاد می‌شوند.

واژه‌های کلیدی: تجزیه گرافیکی، دوره رسیدگی، ژنتیک ایده‌آل، کیفیت پخت

تاریخ پذیرش: ۱۴۰۲/۰۶/۲۷

تاریخ دریافت: ۱۴۰۲/۰۵/۰۲

نحوه استناد به این مقاله:

رحیم‌سروش، حسین، حسینی چالشتاری، مریم، عبادی، علی‌اکبر، حقیقی حسنعلی‌یه، علیرضا، و محدثی، علی. (۱۴۰۲). ارزیابی صفات زراعی، کیفیت دانه و پایداری عملکرد ژنتیک‌های امیدبخش برنج با استفاده از روش‌های لین و بینز و GGE-biplot. تحقیقات غلات، ۲۱۵-۲۲۹، (۳)۱۳. doi: [10.22124/CR.2023.25478.1792](https://doi.org/10.22124/CR.2023.25478.1792)

مقدمه

می‌گیرد. بنابراین ارزیابی ژنتیپ‌های امیدبخش در چند سال یا در چند مکان روش مناسبی جهت شناسایی Yan (et al., 2000) پایداری و سازگاری دو واژه پرکاربرد و مهم در بررسی برهمکنش ژنتیپ و محیط هستند. به توان ژنتیکی تولید عملکرد بالا در طیف گسترده‌های از محیط‌ها، سازگاری می‌گویند که به دو دسته خصوصی و عمومی تقسیم می‌شود. رقم‌های دارای سازگاری عمومی در محیط‌های مختلف عملکرد بیشتری دارند، اما رقم‌های با سازگاری خصوصی به طور معمول ظرفیت ژنتیکی عملکرد بالا را در محیط‌های محدودی دارند که باعث می‌شود چنین رقمی در زیر نواحی خاصی از یک ناحیه بزرگ استفاده شود. اما مفهوم پایداری عملکرد به ثبات عملکرد بالا و با ثبات یک رقم در محیط‌های مختلف اطلاق می‌شود (Hill et al., 1998). هر چند بیشتر محققان مفهوم سازگاری و پایداری عملکرد را یکسان و به مفهوم نظر گرفته‌اند، ولی برخی از محققان مفهوم سازگاری را بیشتر به داشتن عملکرد بالا و پایدار در مکان‌های مختلف و در ارتباط با برهمکنش ژنتیپ × مکان در نظر می‌گیرند. بنابراین، مفهوم پایداری بیشتر در ارتباط با ثبات عملکرد در طی زمان و متناسب با برهمکنش ژنتیپ × سال استفاده می‌شود (Barah et al., 1981; Lin & Binns, 1988; Evans, 1993 1988). با توجه به واکنش متفاوت ارقام برنج نسبت به شرایط محیطی و قابل کنترل نبودن شرایط محیطی، برهمکنش ژنتیپ در محیط می‌تواند هر گونه پیشرفت ناشی از گرینش را کاهش دهد. بنابراین، ارقامی که بتوانند در مناطق مختلف با تنش‌های محیطی، عملکرد بالاتری تولید و پایداری عملکرد خود را حفظ کنند، ارقام موققی بهشمار می‌آیند. از این‌رو، انجام آزمایش‌های سازگاری و پایداری عملکرد برای دستیابی به ارقامی با عملکرد بالا و پایدار در مناطق مختلف، همیشه مورد توجه بهنژادگران بوده است (Sharifi et al., 2020).

روش‌های گوناگونی برای بررسی برهمکنش ژنتیپ × محیط و تعیین ژنتیپ‌های پایدار ارایه شده است که شامل روش‌های پارامتری تک متغیره و چندمتغیره و روش‌های ناپارامتری می‌باشند. روش‌های پارامتری تک متغیره، در چهار گروه واریانس و ضربیت تعییرات محیطی، اکوالانس و واریانس پایداری، ضربیت رگرسیون و انحراف از خط رگرسیون تقسیم‌بندی می‌شوند. اغلب آمارهای یاد

تأمین غذای کافی برای بشر یک چالش اساسی است، بهویژه اکنون که بهره‌برداری از منابع آب و زمین از مرزهای پایدار فراتر رفته است (Soltani et al., 2020). با توجه به کمیود مواد غذایی مردم جهان تا سال ۲۰۵۰ مسلماً بخش اعظم موضوع امنیت غذایی بر جنبه‌های تولید غذا متمرکز است. افزایش تولید برنج، از خواسته‌های بازار جهانی و از اهداف بسیاری از کشورهای تولیدکننده این محصول راهبردی است که هنوز فاصله زیادی بین پتانسیل‌ها و امکانات تولید آن وجود دارد. افزایش تولید همیشه یک راهکار مهم برای کمک به افزایش امنیت غذایی بوده است (Keramat et al., 2021). بر اساس آمار سازمان خواروبار جهانی (FAO) در سال ۲۰۲۱، میزان اراضی زیر کشت برنج حدود ۱۶۵ میلیون هکتار و متوسط عملکرد آن ۴/۸ تن در هکتار بوده است (FAO, 2023). در ایران نیز طبق جدیدترین آمار منتشر شده از وزارت جهاد کشاورزی، سطح زیر کشت برنج در کشور ۷۹۱ هزار هکتار و میزان تولید آن ۳/۶ میلیون تن با متوسط عملکرد ۴/۶ تن در هکتار بوده است (Ministry of Agriculture-Jahad, 2023). از کل سطح زیر کشت کشور، ۵۷۷ هزار هکتار معادل ۷۳ درصد متعلق به دو استان گیلان و مازندران بوده که از این سطح، ۲/۶ میلیون تن شلتوك با متوسط عملکرد ۴/۴ تن در هکتار بدست آمده است (Ministry of Agriculture-Jahad, 2023). تغییرات اقلیمی یا محیطی را می‌توان یکی از مهم‌ترین دلایل چالش امنیت غذایی دانست که می‌تواند عوامل دیگر را بهشدت تحت تأثیر قرار دهد. دستیابی به پتانسیل عملکرد بالقوه، بستگی به توان سازگاری رقم در شرایط مختلف محیطی، راهکارهای مدیریتی و سایر عوامل مانند میزان آب مصرفی، میزان بارندگی و عوامل اکولوژیک دارد. از این‌رو، با توجه به افزایش جمعیت، افزایش قیمت محصول و افزایش تقاضا، افزایش تولید برنج با افزایش سطح زیر کشت و عمدتاً با افزایش عملکرد در واحد سطح تمرکز خواهد یافت.

معرفی ژنتیپ‌های با عملکرد بالا و پایدار، یکی از اهداف مهم برای هماهنگی با افزایش جمعیت جهان است (Singh et al., 2019). عملکرد نهایی هر محصول با پتانسیل ژنتیپ (G)، اثر محیط (E) و برهمکنش ژنتیپ و محیط (GE) تعیین می‌شود (Yan & Kang, 2002). عملکرد ارقام و لاین‌های برنج اغلب تحت تأثیر محیط قرار

ژنتیپ‌های برنج بر اساس روش‌های مختلف مورد ارزیابی قرار گرفته و منجر به معرفی ارقامی همچون گیلانه Allahgholipour & Haghghi Hasanalideh, (Mohtashami *et al.*, 2022) و ستایش (2021) شده است. نتایج پژوهش‌های متعدد نشان داده‌اند که در بیشتر آزمایش‌های تجزیه پایداری، اثر اصلی محیط زیاد است، در حالی که تغییرات توجیه‌شده توسط اثر اصلی ژنتیپ و برهمنکنش ژنتیپ × محیط که قابل توصیه و تفسیر هستند، کم است. از آنجایی که محیط قابل کنترل نیست، از این رو در روش GGE-biplot از منابع تغییرات ژنتیپ و برهمنکنش ژنتیپ × محیط استفاده می‌شود تا بتوان نتایج قابل اعتمادی را به دست آورد. در روش GGE-biplot با بهره‌گیری از روش‌های چندمتغیره و رسم نمودارهای دو بعدی، علاوه بر تجزیه و تحلیل مناسب داده‌ها، تفسیر نتایج نیز ساده‌تر است و از این‌رو یک روش مناسب برای تجزیه پایداری است (Yan *et al.*, 2000). با توجه به مطالب فوق، این آزمایش به منظور ارزیابی پایداری عملکرد تعداد نه لاین امیدبخش برنج با منشاء هاشمی به همراه دو رقم گیلانه و هاشمی به عنوان شاهد اجرا شد و هدف از اجرای آزمایش، معرفی لاین‌های پرمحصول و پایدار بود.

مواد و روش‌ها

ژنتیپ‌های مورد مطالعه در این پژوهش حاصل تلاقي ساده رقم محلی هاشمی با ارقام وارداتی و اصلاح شده بودند که پس از انتخاب در نسل‌های در حال تفرق، خالص‌سازی شدند (جدول ۱). این ژنتیپ‌ها در قالب طرح بلوك‌های کامل تصادفی با چهار تکرار در دو منطقه رشت و چپرس طی دو سال ۱۳۹۶ و ۱۳۹۷ کشت و ارزیابی شدند. بدراپاشی در نیمه دوم فروردین‌ماه در خزانه جوی و پشته و نشاکاری در مرحله سه تا چهار برگی در زمین اصلی در کرت‌هایی به مساحت ۱۲ مترمربع به صورت کپهای (۳ تا ۴ نشاء در هر کپه) با فواصل کاشت 25×25 سانتی‌متر انجام شد. میزان کود شیمیایی ۱۵۰ کیلوگرم اوره، ۱۰۰ کیلوگرم کود پتاس و ۱۰۰ کیلوگرم فسفات آمونیوم در هکتار در نظر گرفته شد. یکسوم اوره، نصف کود پتاس و نصف دیگر کود پتاس در هنگام حداکثر یکسوم اوره و یکسوم باقیمانده اوره در مرحله آبستنی پنجه‌زنی و یکسوم اعلف‌های اوره در مرحله آبستنی خوش به زمین اصلی داده شد. سایر عملیات زراعی در خزانه و زمین اصلی شامل مبارزه با اعلف‌های هرز و آفت

شد، همبستگی مثبت و بالایی با یکدیگر دارند. با این وجود، محققان پیشنهاد می‌کنند که برای بازدهی بیشتر، بهتر است نتیجه‌گیری بر اساس ترکیبی از روش‌های مختلف صورت گیرد (Kanouni *et al.*, 2021). لین و همکاران (Lin *et al.*, 1986) پارامترهای پایداری را به سه تیپ، یک، دو و سه دسته‌بندی کردند و سپس، لین و بینز (Lin & Binns, 1988) پارامتر پایداری تیپ چهار را تحت عنوان شاخص برتری پیشنهاد کردند. در این روش، ژنتیپی پایدار است که واریانس بین سال‌های آن در درون یک مکان کوچک باشد. اگرچه محاسبه و استفاده از روش‌های پارامتری تکمتغیره و ناپارامتری آسان است، ولی این روش‌ها نمی‌توانند ماهیت پیچیده و چندبعدی برهمنکنش را به خوبی تفسیر کنند. از این‌رو، استفاده از روش‌های چندمتغیره برای رفع این مشکل پیشنهاد شده است (Zobel *et al.*, 1988; Moreno-Gonzalez *et al.*, 2004). در میان روش‌های چندمتغیره، روش اثرات AMMI; Additive Main Effect and Multiplicative Interaction (Interaction) و روش GGE-biplot (Yan *et al.*, 2000) از نمودار بای‌پلات (Gabriel, 1971) و روش چندمتغیره تجزیه به مولفه‌های اصلی استفاده و برخلاف مرسوم‌ترین روش چندمتغیره تجزیه پایداری که فقط اثر متقابل ژنتیپ × محیط را مدنظر قرار می‌دهد، از اثر اصلی ژنتیپ نیز استفاده می‌کند. در روش گرافیکی GGE-biplot برخلاف سایر روش‌های رایج، گزینش ژنتیپ‌های پایدار و پرمحصول بر مبنای تجزیه گرافیکی انجام می‌گیرد. این روش دارای قابلیت‌های فراوان، سهولت و دقیق‌تر در انجام تجزیه‌ها و سادگی در تفسیر خروجی‌ها است (Yan, 2016).

در زمینه ارزیابی برهمنکنش ژنتیپ × محیط در برنج، مطالعات زیادی صورت گرفته و گزارش‌های متعددی در دسترس است که از آن جمله می‌توان به گزارش‌های ارائه شده توسط الهقلی‌پور و همکاران (Allahgholipour *et al.*, 2015), عشقی و همکاران (Eshghi *et al.*, 2016), خراسانی و همکاران (Khorasany *et al.*, 2019), مصطفوی و همکاران (Mostafavi *et al.*, 2019), شریفی و همکاران (Sharifi *et al.*, 2020)، چلوی و همکاران (Cheloei *et al.*, 2020) و عبادی و همکاران (Ebadi *et al.*, 2022) اشاره کرد که در آن‌ها پایداری

درون‌مکانی نیز با تقسیم جذر واریانس درون‌مکانی به میانگین عملکرد هر رقم بر حسب درصد به دست آمد.

تجزیه گرافیکی GGE-biplot (Yan & Kang, 2002) بر اساس تجزیه به مقادیر منفرد (رابطه ۱) با استفاده از نرم‌افزار Genstat انجام شد:

$$Y_{ij} - \beta_j = \sum \lambda_i \xi_{ij} + \epsilon_{ij} \quad (1)$$

که در آن، Y_{ij} میانگین ژنوتیپ i در محیط j ، μ میانگین کل، β_j اثر اصلی محیط j ، λ_i مقادیر منفرد برای مؤلفه اصلی i (PCI_i , $i=1, 2$) و برای بای‌پلات دو بعدی)، ξ_{ij} بردار ویژه محیط j برای PCI_i و ϵ_{ij} باقیمانده مدل است. همچنین، مقیاس‌بندی متقارن (Symmetrical Scaling) بردارهای ویژه ژنوتیپ‌ها و محیط‌ها به ترتیب با استفاده از روابط (۲) و (۳) انجام شد:

$$\xi_{ij}^* = \lambda_i^{1/2} \xi_{ik} = (\lambda_i \xi_{ik}) \lambda_i^{1/2} \quad (2)$$

$$\eta_{j1}^* = \lambda_1^{1/2} \eta_{j1} = \eta_{j1} \lambda_1^{1/2} \quad (3)$$

مقدار منفرد برای یک مؤلفه اصلی برابر ریشه دوم مجموع مربعات توجیه شده توسط آن مؤلفه اصلی است. بنابراین ریشه دوم مقادیر منفرد برای مؤلفه اصلی k ام بر اساس رابطه (۴) به دست آمد:

$$\lambda_1^{1/2} = (X_1 n)^{1/4} \quad (4)$$

در این رابطه، X_1 مقدار منفرد برای مؤلفه اصلی k و n تعداد ژنوتیپ است. پس از مقیاس‌بندی متقارن، بردارهای ویژه ژنوتیپ‌ها و محیط‌ها، مقادیر مورد نیاز برای رسم نمودارهای بای‌پلات جهت انتخاب ژنوتیپ‌های برتر در هر محیط، رتبه‌بندی ژنوتیپ‌ها بر اساس الگوی همزمان عملکرد و پایداری و رتبه‌بندی ژنوتیپ‌ها بر اساس ژنوتیپ فرضی ایده‌آل انجام شد (Yan & Kang, 2002).

کرم‌ساقه خوار برنج و آبیاری غرقابی طبق عرف منطقه و در همه مکان‌ها و سال‌ها به صورت یکنواخت انجام شد.

در زمان رسیدگی دانه‌ها، کلیه بوته‌های هر کرت پس از حذف حاشیه‌ها از مساحت ۱۰ متر مربع برداشت و عملکرد دانه با رطوبت ۱۴ درصد محاسبه شد و سپس میانگین مشاهدات هر کرت جهت تجزیه‌های آماری مورد استفاده قرار گرفت. همچنین، صفات تعیین‌کننده کیفیت پخت دانه مانند محتوای آمیلوز به روش جولیانو (Juliano, 1971) و دمای ژلاتینی شدن به روش لیتل و همکاران (Little et al., 1958) اندازه‌گیری شد.

محاسبات آماری شامل تجزیه واریانس ساده عملکرد بر پایه طرح بلوک‌های کامل تصادفی به طور جداگانه برای مکان‌ها و سال‌ها انجام شد. همچنین، به منظور بررسی یکنواختی خطاهای آزمایشی، آزمون بارتلت با استفاده از آماره کای مریع انجام و سپس تجزیه واریانس مرکب داده‌ها انجام شد. آزمون F بر اساس امید ریاضی میانگین مربعات با فرض تصادفی بودن سال‌ها و مکان‌ها و ثابت بودن ژنوتیپ‌ها و مقایسه میانگین‌ها به روش دانکن انجام شد. تجزیه واریانس ساده، مرکب و مقایسه میانگین صفات با استفاده از نرم‌افزار SAS انجام گرفت. همچنین، با معنی‌دار شدن برهمکنش ژنوتیپ × محیط برای صفات مورد بررسی، تجزیه پایداری به روش‌های لین و بیز و GGE-biplot انجام شد.

در روش واریانس درون‌مکانی لین و بینز (Lin & Binns, 1988)، ابتدا برای هر رقم واریانس مربوط به سال‌های داخل هر مکان محاسبه و سپس با میانگین‌گیری از این واریانس‌ها در دو مکان مورد مطالعه، واریانس درون‌مکانی برای هر رقم محاسبه شد. ضریب تغییرات

جدول ۱- مشخصات ژنوتیپ‌های مورد مطالعه در آزمایش مقایسه عملکرد ناحیه‌ای
Table 1. Characteristics of genotypes studied in multi-environment yield

Number	Genotype	Origin
1	19601	Hashemi/IR75489-15-2-1-1
2	19602	Hashemi/ Kadous
3	19603	Hashemi/IR74720-85-1-2-1
4	19604	Hashemi/IR70422-95-1-1
5	19605	Hashemi/IR70416-53-2-2
6	19606	Hashemi/ IR67418-110-32222-1
7	19607	Hashemi/ IR67418-110-32222-2
8	19608	Hashemi/ IR67418-110-32222-3
9	19609	Hashemi/ IR67418-110-32222-4
10	Hashemi	Local variety
11	Gilaneh	(Saleh×Abjiboji)/Abjiboji

نتایج و بحث

تمام ژنوتیپ‌های مورد مطالعه، میانگین عملکرد بیشتری در مقایسه با ژنوتیپ شاهد بومی هاشمی در هر دو مکان چپرس و رشت طی دو سال داشتند. همچنین ژنوتیپ گیلانه در مکان رشت سال اول و دوم و چپرس سال دوم، بیشترین محصول را تولید کرد. این در حالی است که ژنوتیپ ۱۹۶۰۷ در یک مکان با بیشترین عملکرد در رتبه اول و در دو مکان نیز اختلاف معنی‌داری با رقم گیلانه داشت. ژنوتیپ ۱۹۶۰۳ نیز بعد از رقم گیلانه در سه مکان بیشترین عملکرد را با / یا بدون اختلاف معنی‌دار با گیلانه تولید کرد. بنابراین سه ژنوتیپ گیلانه، ۱۹۶۰۷ و ۱۹۶۰۳ در اکثر مکان‌ها و سال‌ها بر سایر ارقام مورد آزمایش برتری داشتند و یا اینکه حداقل هم‌گروه تعدادی از آن‌ها بودند. وجود اختلاف در میانگین عملکرد ژنوتیپ‌ها از مکانی به مکان دیگر و یا از سالی به سال دیگر بیانگر این واقعیت است که ارزیابی عملکرد ژنوتیپ‌ها در یک مکان یا یک سال نمی‌تواند دقیق و قابل توصیه باشد و باید ژنوتیپ‌ها، طی سال‌ها و مکان‌های متعدد مورد ارزیابی قرار گرفته و سازگاری و پایداری آن‌ها مشخص شود.

نتایج تجزیه واریانس ساده عملکرد دانه در سال‌ها و مکان‌های مختلف نشان داد که بین ژنوتیپ‌های مورد مطالعه از نظر توان تولید محصول تفاوت‌های معنی‌داری در سطح احتمال یک درصد وجود داشت. ضریب تغییرات خطای آزمایش‌ها نیز بین ۱/۵۵ تا ۲/۴۴ درصد و نشان دهنده دقت بسیار خوب آزمایش‌ها بود (جدول ۲).

مقایسه میانگین عملکرد ژنوتیپ‌ها (جدول ۳) نشان داد که ژنوتیپ‌های ۱۹۶۰۷ و ۱۹۶۰۳ به ترتیب با تولید محصول ۵۴۶۸/۳ و ۵۳۴۲/۳ کیلوگرم در هکتار بیشترین عملکرد را در چپرس در سال اول به خود اختصاص دادند و بدون اختلاف معنی‌دار در یک گروه قرار گرفتند. بعد از آن نیز ژنوتیپ‌های ۱۹۶۰۱، ۱۹۶۰۲، ۱۹۶۰۶ و گیلانه با تولید بیش از ۵۰۰۰ کیلوگرم در هکتار و بدون اختلاف معنی‌دار با یکدیگر، به ترتیب در رتبه‌های بعدی قرار گرفتند. بعلاوه ژنوتیپ‌های ۱۹۶۰۹ و ۱۹۶۰۸ عملکرد کمتر از گیلانه (۵۱۸۵/۳ کیلوگرم در هکتار)، اما بدون اختلاف معنی‌دار با آن تولید کردند. نتایج نشان داد که

جدول ۲- تجزیه واریانس ساده عملکرد دانه ژنوتیپ‌های مورد مطالعه در آزمایش‌های چندناحیه‌ای

Table 2. Simple analysis of variance for grain yield of the studied genotypes in multi-environmental trials

Source of variation	df	Mean square			
		Rasht	Chaparsar	Rasht	Chaparsar
Block	3	36589.17	5723.30	36551.33	2066.93
Genotype	10	1067294.01**	1783891.82**	1197039.47**	987263.22**
Error	18	11243.61	12545.12	7547.93	5240.8
CV (%)	-	2.17	2.44	1.87	1.55

^{ns}, * and ** Not-significant and significant at 5% and 1% probability levels, respectively.

جدول ۳- مقایسه میانگین عملکرد دانه ژنوتیپ‌های مورد مطالعه در آزمایش‌های چندناحیه‌ای

Table 3. Comparison of means for grain yield of the studied genotypes in multi-environmental trials

Genotype	2017		2018	
	Rasht	Chaparsar	Rasht	Chaparsar
19601	5052.5 ^{ab}	5284.8 ^b	4728.0 ^d	4800.3 ^b
19602	5013.5 ^{ab}	5235.3 ^{bc}	4736.3 ^d	4694.0 ^{bc}
19603	5069.8 ^a	5342.3 ^a	4977.8 ^b	5030.0 ^a
19604	4892.8 ^{bc}	5011.3 ^{de}	4496.5 ^e	4568.5 ^d
19605	4798.3 ^c	4960.5 ^e	4558.5 ^e	4618.3 ^{cd}
19606	5160.5 ^a	5215.0 ^{bc}	4911.8 ^{bc}	4774.3 ^b
19607	5155.0 ^a	5468.3 ^a	4741.5 ^d	5057.8 ^a
19608	5033.8 ^{ab}	5066.0 ^{cde}	4806.5 ^{cd}	4720.5 ^{bc}
19609	5089.3 ^a	5102.5 ^{cde}	4815.0 ^{cd}	4620.8 ^{cd}
Gilaneh	5177.0 ^a	5185.3 ^{bed}	5147.5 ^a	5078.5 ^a
Hashemi	3373.5 ^d	3027.5 ^f	3079.8 ^f	3264.0 ^e

Means followed by the similar letter (s) in each column are not significantly different by Duncan's multiple range test at 1% probability level.

ژنتیپ ۱۹۶۰۶ قرار گرفت. بعلاوه، کلیه ژنتیپ‌ها برتری معنی‌داری در سطح احتمال یک درصد نسبت به شهد هاشمی (با کمترین مقدار عملکرد)، داشتند (جدول ۵). نتایج ارزیابی پایداری ژنتیپ‌ها به روش لین و بینز (Lin & Binns, 1988) نشان داد که بهترین ژنتیپ‌های گیلانه و ۱۹۶۰۳ (Hashemi/IR74720-85-1-2-1) دارای کمترین مقدار واریانس و ضریب تغییرات درون‌مکانی بودند و رتبه‌های اول و دوم پایداری را به خود اختصاص دادند (جدول ۵). بدین معنی که عملکرد این ژنتیپ‌ها از سالی به سال دیگر دارای نوسانات کمتری در مقایسه با ژنتیپ‌های دیگر بررسی شده در این تحقیق بود و بنابراین به عنوان ژنتیپ‌های پایدار شناخته شدند. بعلاوه، عملکرد این ژنتیپ‌ها نیز برتری معنی‌داری در سطح احتمال یک درصد نسبت به ژنتیپ‌های دیگر داشت. عبادی و همکاران (Ebadi et al., 2022) نیز در پژوهشی مشابه، پایداری ۱۴ لاین جهش‌یافته برنج را با روش‌های مختلف تجزیه پایداری بررسی و شاخص‌های برتری لین و بینز را شاخص‌های مناسبی برای شناسایی لاین‌های پایدار و با عملکرد بالا گزارش کردند. لین و بینز (Lin & Binns, 1988) واریانس درون‌مکانی را به عنوان شاخص پایداری نوع چهارم، یک شاخص وراست‌پذیر معرفی کردند. آن‌ها معتقد بودند که از بین عوامل موثر بر عملکرد واریته‌ها، عامل غیرقابل کنترل سال است نه مکان، و بنابراین اظهار داشتند که واریته‌ها را می‌بایست نسبت به نوسانات سالیانه ارزیابی و برای تعیین پایداری مورد استفاده قرار داد و از عامل مکان فقط برای تعیین وسعت کشت واریته‌ها در مکان‌های مختلف استفاده کرد.

به منظور تجزیه واریانس مرکب، ابتدا آزمون بارتلت جهت ارزیابی یکنواختی واریانس خطاهای آزمایشی انجام شد. بر اساس نتایج، مقدار χ^2 برابر با 404 برآورد شد که از نظر آماری معنی‌دار نبود. از این‌رو، واریانس خطاهای آزمایشی یکنواخت بود و می‌توان تجزیه واریانس مرکب داده‌ها را انجام داد. نتایج حاصل از تجزیه واریانس مرکب (جدول ۴) نشان داد که اثرات ساده ژنتیپ و سال معنی‌دار بود که بیانگر وجود اختلافات ژنتیکی در عملکرد بین ژنتیپ‌های مختلف و نیز وجود تفاوت در میانگین عملکرد ژنتیپ‌ها از سالی به سال دیگر بود، به طوری که عوامل جوی مانند بارش‌ها، طول روز، حداقل و حداکثر دمای هوا و خاک و سایر عوامل اقلیمی طی دو سال اجرای آزمایش یکسان نبوده و این تفاوت‌ها تأثیر قابل ملاحظه‌ای بر عملکرد ژنتیپ‌ها داشتند. اثر ساده مکان معنی‌دار نبود، یعنی ویژگی‌های فیزیکی و شیمیایی خاک مناطق مورد آزمایش باعث ایجاد اختلاف قابل توجه در مکان‌ها نشدند. برهمکنش ژنتیپ × سال و ژنتیپ × مکان نیز بر عملکرد دانه معنی‌دار نبود و به عبارت دیگر پاسخ ژنتیپ‌ها در دو مکان و نیز طی دو سال یکسان بود. در مقابل، برهمکنش سال × مکان و ژنتیپ × سال × مکان معنی‌دار شد. ستاری و همکاران (Sattari et al., 2019) و شریفی و همکاران (Sharifi et al., 2020) نیز با بررسی پایداری لاین‌های برنج، نتایج مشابهی را گزارش کردند. مقایسه میانگین عملکرد ژنتیپ‌ها در چهار آزمایش (دو مکان و دو سال) نشان داد که بیشترین عملکرد را ژنتیپ‌های گیلانه، ۱۹۶۰۷ و ۱۹۶۰۳ با تولید محصول ۵۱۵۰ تا ۵۱۵۰ کیلوگرم در هکتار داشتند و بعد از آن‌ها

جدول ۴- تجزیه واریانس مرکب عملکرد دانه ژنتیپ‌های مورد مطالعه در آزمایش‌های چندناحیه‌ای

Table 4. Combined analysis of variance for grain yield of the studied genotypes in multi-environmental trials

Sources of variation	df	Mean square
Year	1	3827330.20**
Location	1	181987.07 ns
Year × Location	1	51210.57 *
Replication (Year × Location)	12	20546.57
Genotype	10	4846337.15**
Genotype × Year	10	78200.87 ns
Genotype × Location	10	65079.85 ns
Genotype × Year × Location	10	46460.94**
Error	120	8975.35

ns, * and ** Not-significant and significant at 5% and 1% probability levels, respectively.

جدول ۵- پارامترهای پایداری لین و بینز برای عملکرد دانه ژنوتیپ‌های مورد مطالعه در آزمایش‌های چندناحیه‌ای

Table 5. Lin and Binns stability parameters for grain yield of studied genotypes in multi-environmental trials

Genotype	Grain yield (kg/ha) [†]	Yield ranking	Intra-location variance	Variance ranking	Intra-location CV	CV ranking
19601	4966.38 ^{bc}	5	85010.1	9	5.87	8
19602	4919.75 ^c	6	92461.4	11	6.18	10
19603	5104.94 ^a	3	26498.8	2	3.19	2
19604	4742.25 ^d	9	88281.4	10	6.27	11
19605	4733.88 ^d	10	43651.2	5	4.41	4
19606	5015.38 ^d	4	64017.1	6	5.04	5
19607	5105.63 ^a	2	84873.1	8	5.71	7
19608	4906.69 ^c	8	42758.0	4	4.21	3
19609	4906.88 ^c	7	76818.8	7	5.65	6
Hashemi	3186.19 ^e	11	35548.0	3	5.92	9
Gilaneh	5147.06 ^c	1	3069.1	1	0.34	1

[†] Means followed by the similar letter (s) in each column are not significantly different by Duncan's multiple range test at 1% probability level.

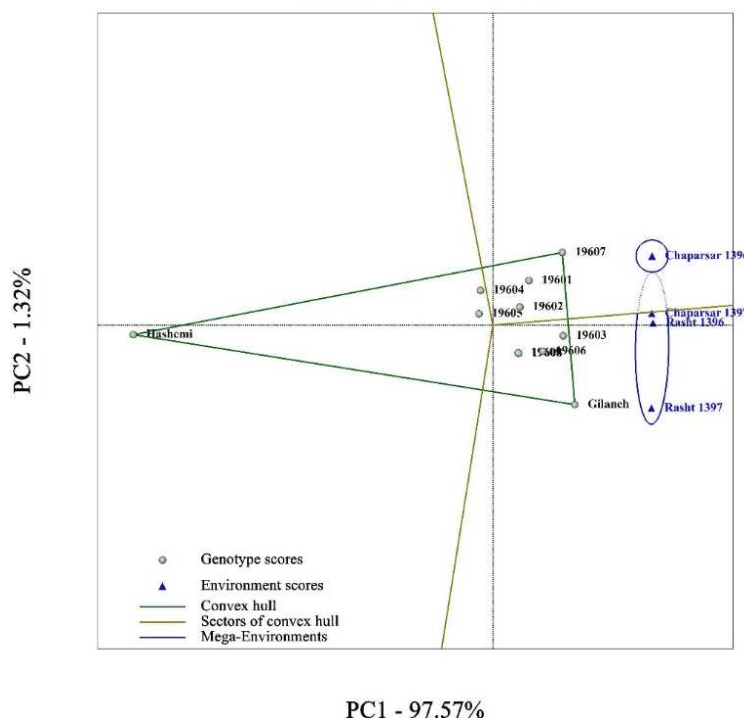
بررسی همزمان پایداری و عملکرد ژنوتیپ‌ها استفاده کرد. محور با دایره و فلش نشان‌دهنده پایداری است و هر ژنوتیپی که به این محور نزدیک‌تر باشد، پایدارتر است. علاوه بر این، خط عمودی نشان‌دهنده متوسط عملکرد ژنوتیپ‌ها است و ژنوتیپ‌های موجود در سمت راست و چپ این خط بهترین دارای عملکرد بیشتر و کمتر از متوسط عملکرد تمامی ژنوتیپ‌ها هستند (Yan *et al.*, ۱۹۶۰۳، ۲۰۰۰). بر این اساس، ژنوتیپ‌های هاشمی، ۱۹۶۰۳، ۱۹۶۰۵، ۱۹۶۰۲، ۱۹۶۰۶ و ۱۹۶۰۷ بیشترین پایداری را در بین ژنوتیپ‌های مورد بررسی داشتند و در این بین ژنوتیپ ۱۹۶۰۳ از پایداری و عملکرد دانه مناسبی برخوردار بود (شکل ۲). عبادی و همکاران (Ebadi *et al.*, 2022) نیز (شکل ۲). عبادی و همکاران (Ebadi *et al.*, 2022) نیز چندضلعی حاصل می‌شود. ژنوتیپ‌های بزرگ، نمودار چندضلعی GGE-biplot رسم و در شکل ۱ رایه شد. در این شکل، ژنوتیپ‌هایی که حداکثر فاصله را از مبدأ بای‌پلات دارند، توسط خطوط مستقيمه به یکدیگر متصل و یک چندضلعی حاصل می‌شود. ژنوتیپ‌های واقع در رأس این چندضلعی، ارقام بتر برای محیط‌های واقع در آن ناحیه هستند (Yan *et al.*, 2000). همان‌طور که ملاحظه می‌شود، ژنوتیپ‌های ۱۹۶۰۷، هاشمی و گیلانه که رأس‌های چندضلعی را تشکیل دادند، بیشترین فاصله را از مرکز بای‌پلات دارند و بهترین و یا ضعیف‌ترین ژنوتیپ‌ها از نظر عملکرد دانه در برخی از محیط‌ها و یا همه محیط‌ها هستند. دو ژنوتیپ ۱۹۶۰۷ و گیلانه با بیشترین عملکرد دانه در محیط‌های مورد بررسی، به عنوان ژنوتیپ‌های بتر و رقم هاشمی با کمترین عملکرد دانه در مقایسه با سایر ژنوتیپ‌ها، به عنوان ضعیف‌ترین ژنوتیپ این آزمایش شناخته شدند.

از نمودار محور پایداری یا بای‌پلات مختصات تستر متوسط (Average tester coordinate) می‌توان برای

نتایج حاصل از روش GGE-biplot نشان داد که دو مؤلفه اصلی اول (معرف اثر اصلی ژنوتیپ) و دوم (معرف برهمنکنیش ژنوتیپ × محیط) به ترتیب ۹۷/۵۷ و ۱/۳۲ درصد و در مجموع ۹۸/۹۰ درصد از تغییرات عملکرد دانه را توجیه کردند (شکل ۱). درصد توجیه بالا اعتبار بیشتر نتایج حاصل از این روش را نشان می‌دهد. چلویی و همکاران (Cheloei *et al.*, 2020) نیز در تحقیقی مشابه بیان کردند که دو مؤلفه اول در مجموع ۹۲/۵۲ درصد از تغییرات عملکرد دانه را توجیه کردند. برای شناسایی ژنوتیپ‌هایی برتر و محیط‌های بزرگ، نمودار چندضلعی GGE-biplot رسم و در شکل ۱ رایه شد. در این شکل، ژنوتیپ‌هایی که حداکثر فاصله را از مبدأ بای‌پلات دارند، توسط خطوط مستقيمه به یکدیگر متصل و یک چندضلعی حاصل می‌شود. ژنوتیپ‌هایی که حداکثر فاصله را از مرکز بای‌پلات دارند و بهترین و یا ضعیف‌ترین ژنوتیپ‌ها از نظر عملکرد دانه در برخی از محیط‌ها و یا همه محیط‌ها هستند. دو ژنوتیپ ۱۹۶۰۷ و گیلانه با بیشترین عملکرد دانه در محیط‌های مورد بررسی، به عنوان ژنوتیپ‌های بتر و رقم هاشمی با کمترین عملکرد دانه در مقایسه با سایر ژنوتیپ‌ها، به عنوان ضعیف‌ترین ژنوتیپ این آزمایش شناخته شدند.

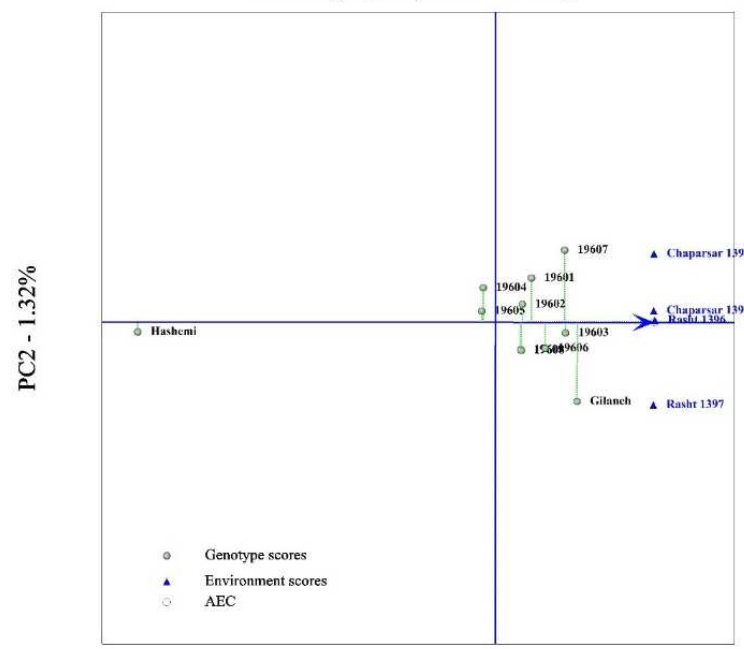
از نمودار محور پایداری یا بای‌پلات مختصات تستر متوسط (Average tester coordinate) می‌توان برای

Scatter plot (Total - 98.90%)



شکل ۱- نمودار بای‌پلاط چندضلعی برای شناسایی محیط‌های بزرگ و ژنتیک‌های برتر
Figure 1. Biplot polygon diagram to identify large environments and superior genotypes

Ranking biplot (Total - 98.90%)

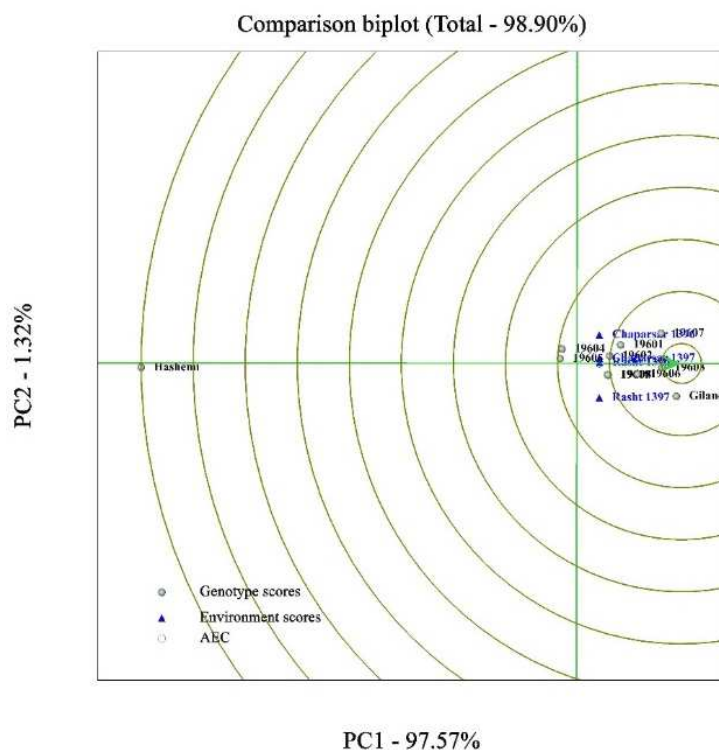


شکل ۲- نمودار بای‌پلاط مختصات تستر متوسط برای بررسی همزمان پایداری و عملکرد ژنتیک‌های مورد مطالعه
Figure 2. Biplot graph of average tester coordination (ATC) for simultaneous evaluation of stability and grain yield of the studied genotypes

بیشترین فاصله از این ژنوتیپ، به عنوان نامناسب‌ترین ژنوتیپ در این پژوهش بود.

علاوه بر عملکرد و پایداری، ویژگی‌های زراعی و کیفی ژنوتیپ‌های مورد مطالعه نیز ارزیابی و در جدول ۶ ارائه شد. نتایج نشان داد که تمامی ژنوتیپ‌ها دارای میزان آمیلوز $19/8 - 23/3$ درصد) و دمای ژلاتینی شدن متوسط ($3-5^{\circ}\text{C}$) و بسیار نزدیک به دو رقم شاهد کیفی هاشمی و گیلانه بودند. ارقام آمیلوز متوسط برنج، پس از پخت نرم و متورم و کاملاً از هم جدا شده و مدت‌ها پس از پخت نرم یاقی می‌مانند. از نظر کیفیت تبدیل دانه نیز همه ژنوتیپ‌ها دارای مقدار تبدیل بین $68-72/6$ درصد و برنج سالم بین $52/33-59/21$ درصد بودند. از بین آن‌ها مقدار برنج سالم ژنوتیپ‌های $19601, 19602$ و 19603 نزدیک به رقم هاشمی بود. از نظر کیفیت ظاهری دانه، بیشتر از رقم هاشمی بود. از نظر کیفیت ظاهری دانه، ژنوتیپ‌های $19601, 19603, 19604$ و 19605 با طول دانه بیش از $7/5$ میلی‌متر از گروه برنج‌های خیلی دانه‌بلند و سایر ژنوتیپ‌ها به همراه دو رقم شاهد با طول دانه $-6/6$ و $7/5$ میلی‌متر از برنج‌های دانه‌بلند بودند.

نمودار ژنوتیپ ایده‌آل بر اساس تعیین فاصله ژنوتیپ‌ها از ژنوتیپ ایده‌آل فرضی رسم می‌شود. ژنوتیپ ایده‌آل فرضی بر اساس پایدارترین و پرمحصله‌ترین ژنوتیپ تعریف و به صورت یک دایره کوچک روی محور میانگین عملکرد ژنوتیپ‌ها نشان داده می‌شود. این ژنوتیپ دارای بیشترین طول روی بردار میانگین عملکرد ژنوتیپ‌ها و کمترین فاصله از محور افقی با پلات است و بنابراین حداقل نقش را در ایجاد برهمنکنش ژنوتیپ \times محیط دارد. در نتیجه، هر ژنوتیپی که کمترین فاصله را نسبت به ژنوتیپ ایده‌آل فرضی داشته باشد، به عنوان ژنوتیپ برتر در نظر گرفته می‌شود (Yan & Kang, 2002). برای استفاده از ژنوتیپ ایده‌آل به عنوان مرکز ارزیابی، دایره‌های هم‌مرکزی در با پلات به منظور تعیین فاصله بین ژنوتیپ‌های مطالعه شده با ژنوتیپ ایده‌آل رسم می‌شود (شکل ۳). هر ژنوتیپی که در مرکز دایره‌ها بوده و یا نزدیک‌ترین فاصله را از این ژنوتیپ فرضی داشته باشد، به عنوان یک ژنوتیپ برتر با عملکرد و پایداری بالا محسوب می‌شود (Yan & Kang, 2002). همان‌طور که مشاهده می‌شود، ژنوتیپ 19603 با کمترین فاصله از ژنوتیپ ایده‌آل فرضی، به عنوان برترین ژنوتیپ و رقم هاشمی با



شکل ۳- نمودار با پلات برای مقایسه ژنوتیپ‌های مورد بررسی با ژنوتیپ ایده‌آل

Figure 3. Biplot diagram for comparing the experimental genotypes with the ideal genotype

Table 6. Qualitative characteristics of the promising rice lines studied in this experiment

Genotype	Days to 50% flowering	Head rice (%)	Milling efficiency (%)	Grain length (mm)	Gelatinization temperature	Amylose content (%)
19601	87	56.17	72.60	7.52	4.2	20.6
19602	89	56.47	68.00	7.43	3.8	21.4
19603	86	56.34	68.65	7.56	4.3	23.3
19604	89	59.21	69.12	7.83	4.2	19.8
19605	88	54.00	72.47	7.56	3.9	19.8
19606	93	53.47	69.36	7.42	4.5	21.12
19607	90	54.12	70.85	7.02	4.8	20.23
19608	95	53.68	71.03	7.33	4.9	21.34
19609	94	52.33	70.84	7.26	3.9	20.81
Hashemi	89	56.45	71.25	7.22	4.3	21.2
Gilaneh	87	61	71	7.14	4.7	20.8

تضاد منافع

نویسنده (گان) تایید می‌کنند که این تحقیق در غیاب هر گونه روابط تجاری یا مالی که می‌تواند به عنوان تضاد منافع بالقوه تعییر شود، انجام شده است.

رعايت اخلاق در نشر

نویسنده (گان) اعلام می‌کنند که در نگارش این مقاله به طور کامل از اخلاق نشر از جمله سرفت ادبی، سوء رفتار، جعل داده‌ها و یا ارسال و انتشار دوگانه، پیروی کرده‌اند. همچنین این مقاله حاصل یک کار تحقیقاتی اصیل بوده و تا کنون به طور کامل به هیچ زبانی و در هیچ نسخه‌ی یا همایشی چاپ و منتشر نشده و هیچ اقدامی نیز برای انتشار آن در هیچ نسخه‌ی یا همایشی صورت نگرفته و نخواهد گرفت.

احجازه انتشار مقاله

نویسنده (گان) با چاپ این مقاله به صورت دسترسی باز موافقت کرده و کلیه حقوق استفاده از محتوا، جدول‌ها، شکل‌ها، تصویرها و غیره را به ناشر واگذار می‌کنند.

نتیجه‌گیری کلی

نتایج حاصل از ارزیابی پایداری عملکرد دانه لاین‌های امیدبخش برنج با استفاده از روش‌های لین و بیز و GGE-biplot نشان داد که لاین ۱۹۶۰۳، پایدارترین لاین امیدبخش نسبت به همه ژنتیکی‌های مورد مطالعه بود. علاوه بر این، لاین ۱۹۶۰۳ به همراه لاین ۱۹۶۰۷ با میانگین تولید بیشترین مقدار عملکرد شلتوك در دو مکان و دو سال اجرای آزمایش، اختلاف معنی‌داری با رقم شاهد اصلاح شده گیلانه نداشت و به عنوان ارقام پرمحصول این آزمایش محسوب شدند. این دو لاین، از لحاظ طول دوره رشد با تعداد روز تا ۵۰٪ گلدهی کمتر از ۹۵ روز از ارقام میانرس بودند. همچنین، از نظر کیفیت پخت، به علت دارا بودن درصد آمیلوز و دمای ژلاتینی شدن متوسط در ردیف ژنتیکی‌های با کیفیت پخت مطلوب قرار گرفتند. از نظر کیفیت تبدیل دو لاین ۱۹۶۰۳ و ۱۹۶۰۷ به ترتیب با ۶۸/۶۵ و ۷۰/۸۵ درصد تبدیل کل و ۵۶/۳۴ و ۵۴/۱۲ درصد برنج سالم، در حد عالی بودند و از نظر کیفیت ظاهری دانه نیز با طول دانه بیش از ۷ میلی‌متر از گروه برنج‌های دانه‌بلند یا صدری محسوب شدند.

References

- Allahgholipour, M., & Haghghi Hasanalideh, A. (2021). Gilaneh, an improved rice cultivar with high grain quality through backcrossing. *Central Asian Journal of Plant Science Innovation*, 1(3), 160-170. doi: [10.22034/CAJPSI.2021.03.04](https://doi.org/10.22034/CAJPSI.2021.03.04).
- Allahgholipour, M., Mohadessi, A., Jazaeri Nooshabadi, M., Nahvi, M., & Sharifi, N. (2015). Adoptability and sustainability of promising rice lines in Guilan province. Rice Research Institute of Iran Publications. Agricultural Research, Education and Extension Organization (AREEO). 46 p. [In Persian].
- Barah, B. C., Binswanger, H. P., Rana, B. S. & Rao, G. P. (1981). The use of risk aversion in plant breeding: Concept and application. *Euphytica*, 30, 451-458. doi: [10.1007/BF00034010](https://doi.org/10.1007/BF00034010).

- Cheloei, G., Ranjbar, G., Babaeian Jelodar, N., Bagheri, N., & Noori, M. Z. (2020). Using AMMI model and its parameters for yield stability analysis of rice (*Oryza sativa L.*) advanced mutant genotypes of Tarrom-Mahalli. *Iranian Journal of Genetics & Plant Breeding* 9(1), 70-83. doi: [10.30479/IJGPB.2020.13219.1271](https://doi.org/10.30479/IJGPB.2020.13219.1271).
- Ebadi, A., Sharifi, P. & Taher Hallajian, M. (2022). Stability analysis of grain yield of rice mutants by multivariate methods and superiority index. *Journal of Agricultural Science and Sustainable Production* 32(2), 313-332. [In Persian]. doi: [10.22034/saps.2021.45415.2668](https://doi.org/10.22034/saps.2021.45415.2668).
- Eshghi, I., Asghari Zakaria, R., Nabipour, A., Sofalian, O., & Norouzi, M. (2016). Yield stability of rice promising lines in Mazandaran province. *Iranian Journal of Field Crop Science* 47(3), 515-525. [In Persian]. doi: [10.22059/ijfcs.2016.60131](https://doi.org/10.22059/ijfcs.2016.60131).
- Evans, L. T. (1993). *Crop Evolution, Adaptation, and Yield*. New York, Cambridge University Press doi: [10.1017/S0889189300005361](https://doi.org/10.1017/S0889189300005361).
- FAO. (2023). FAO Statistical Yearbook 2023. Food & Agriculture Organization of the United Nations. Rome, Italy. <http://www.fao.org/statistics>.
- Gabriel, K. R. (1971). The biplot graphic display of matrices with application to principal component analysis. *Biometrika*, 58, 453-467. doi: [10.1093/biomet/58.3.453](https://doi.org/10.1093/biomet/58.3.453).
- Hill, J., Becker, H. C., & Tigerstedt, P. M. A. (1998). Stability, Adaptability and Adaptation. In: Quantitative and Ecological Aspects of Plant Breeding. *Plant Breeding*. Springer, Dordrecht. pp: 187-211. doi: [10.1007/978-94-011-5830-5_7](https://doi.org/10.1007/978-94-011-5830-5_7).
- Juliano, B. O. (1971). *Rice: Chemistry and Technology*. The American Association of Cereal Chemists, Inc. St. Paul, Minnesota, USA, 774 p.
- Kanouni, H., Sadeghzadeh Ahari, D., Saeid, A., Shobeiri, S., Mahdieh, M., Haji Hasani, M., Sotoudeh-Maram, K., & Beheshti Danalou, M. (2021). Investigation of grain yield stability of desi type chickpea across different environments and introducing promising lines. *Journal of Agricultural Science and Sustainable Production* 31(1), 295-312. [In Persian]. doi: [10.22034/saps.2021.12816](https://doi.org/10.22034/saps.2021.12816).
- Keramat, S., Torabi, B., Soltani, A., & Zeinali, E. (2021). Evaluation of rice production potential and yield gap in Iran using SSM-iCrop2 model. *Cereal Research*, 11(3), 175-191. [In Persian]. doi: [10.22124/cr.2022.20959.1696](https://doi.org/10.22124/cr.2022.20959.1696).
- Khorasany, E., Fahmideh, L., Babaiean, N. A., & Ranjbar, G. (2019). Studying some of the agronomy traits and yield stability of rice genotypes. *Journal of Crop Breeding*, 11(31), 196-208. [In Persian]. doi: [10.29252/jcb.11.31.196](https://doi.org/10.29252/jcb.11.31.196).
- Lin, C. S., Binns, M. R., & Lefkovitch, L. P. (1986). Stability analysis: Where do we stand?. *Crop Science*, 26, 894-900. doi: [10.2135/cropsci1986.0011183X002600050012x](https://doi.org/10.2135/cropsci1986.0011183X002600050012x).
- Lin, C. S., & Binns, M. R. (1988). A method of analyzing cultivar × location × year experiment: A new stability parameter. *Theoretical and Applied Genetics*, 76, 425-430. doi: [10.1007/bf00265344](https://doi.org/10.1007/bf00265344).
- Little, R. R., Hilder, G. B., & Dawson, E. H. (1958). Differential effect of dilute alkali on 25 varieties of milled white rice. *Cereal Chemistry*, 35, 111-126.
- Ministry of Agriculture-Jahad. (2023). Agricultural Statistics of the Cropping Year 2021-22. Vol. I: Crop Plants. Information and Communication Technology Center, Department of Economy and Planning Publication, Ministry of Agriculture-Jahad, Iran. [In Persian].
- Mohtashami, R. Chakerolhoseini, M., Keshavarz, K., Rouzbehi, F., & Hoseini Chaleshtori, M. (2022). Introducing a new variety of rice 'Setayesh' for cultivation in cold and cold temperate regions. *Applied Field Crops Research*, 35(2), 70-84. [In Persian]. doi: [10.22092/AJ.2023.358343.1599](https://doi.org/10.22092/AJ.2023.358343.1599).
- Moreno-Gonzalez, J., Crossa, J., & Cornelius, P. L. (2004). Genotype × environment interaction in multi-environment trials using shrinkage factors for AMMI models. *Euphytica*, 137, 119-127. doi: [10.1023/B:EUPH.0000040509.61017.94](https://doi.org/10.1023/B:EUPH.0000040509.61017.94).
- Mostafavi, K., Hosseini-Imeni, S. S., & Firoozi, M. (2014). Stability analysis of grain yield in lines and cultivars of rice (*Oryza sativa L.*) using AMMI (additive main effects and multiplicative interaction) method. *Iranian Journal of Field Crops Science*, 45(3), 445-452. [In Persian]. doi: [10.22059/ijfcs.2014.53540](https://doi.org/10.22059/ijfcs.2014.53540).
- Mostafavi, K., Hosseini Imeni, S. S., & Haji Mohammadali Jahromi, M. (2019). Assessing grain yield stability of rice genotypes under humid climate of northern Iran. *Plant Production Technology*, 11(2), 43-56. [In Persian]. doi: [10.22084/ppt.2017.7140.1418](https://doi.org/10.22084/ppt.2017.7140.1418).

- Sattari, A., Soloki, M., Bagheri, N., Fakheri, B., and Nabipour, A. (2019). Analysis of genotype, environment interaction and grain yield stability of rice (*Oryza sativa L.*) genotypes in Mazandaran province. *Journal of Crop Breeding*, 11(31), 1-10. [In Persian]. doi: [10.29252/jcb.11.31.1](https://doi.org/10.29252/jcb.11.31.1).
- Sharifi, P., Erfani, A., Mohaddesi, A., Abbasian, A., Aminpanah, H., Mohammad Yousefi, M., & Saeedi, M. (2020). Stability analysis of grain yield of some of rice genotypes by parametric and nonparametric uni-variate methods. *Journal of Crop Production*, 13(3), 85-106. [In Persian]. doi: [10.22069/ejcp.2021.17883.2315](https://doi.org/10.22069/ejcp.2021.17883.2315).
- Singh, C., Gupta, A., Gupta, V., Kumar, P., Sendhil, R., Tyagi, B. S., Singh, G., Chatrath, R., & Singh, G. P. (2019). Genotype × environment interaction analysis of multi-environment wheat trials in India using AMMI and GGE biplot models. *Crop Breeding and Applied Biotechnology*, 19, 309-318. doi: [10.1590/1984-70332019v19n3a43](https://doi.org/10.1590/1984-70332019v19n3a43).
- Soltani, A., Alimaghams, M., Nehbandani, A., Torabi, B., Zeinali, E., Zand, E., Ghassemi S., Vadez V., Sinclair T. R., & Van Ittersum, M. K. (2020). Modeling plant production at country level as affected by availability and productivity of land and water. *Agricultural Systems*, 183, 102859. doi: [10.1016/j.agrosy.2020.102859](https://doi.org/10.1016/j.agrosy.2020.102859).
- Yan, W. (2016). Analysis and handling of GxE in a practical breeding program. *Crop Science*, 56, 2106-2118. doi: [10.2135/cropsci2015.06.0336](https://doi.org/10.2135/cropsci2015.06.0336).
- Yan, W., & Kang, M. S. (2002). GGE-biplot analysis: A graphical tool for breeders, geneticists, and agronomists. CRC Press, Boca Raton, Florida, USA. 271 p. doi: [10.1201/9781420040371](https://doi.org/10.1201/9781420040371).
- Yan, W., Hunt, L. A., Sheng, Q., & Szlavnics, Z. (2000). Cultivar evaluation and mega-environment investigation based on the GGE biplot. *Crop Science*, 40, 597-605. doi: [10.2135/cropsci2000.403597x](https://doi.org/10.2135/cropsci2000.403597x).
- Zobel, R., Wright, W. M. J., & Gauch, H. G. (1988). Statistical analysis of a yield trial. *Agronomy Journal*, 80, 388-393. doi: [10.2134/agronj1988.00021962008000030002x](https://doi.org/10.2134/agronj1988.00021962008000030002x).